

## Report

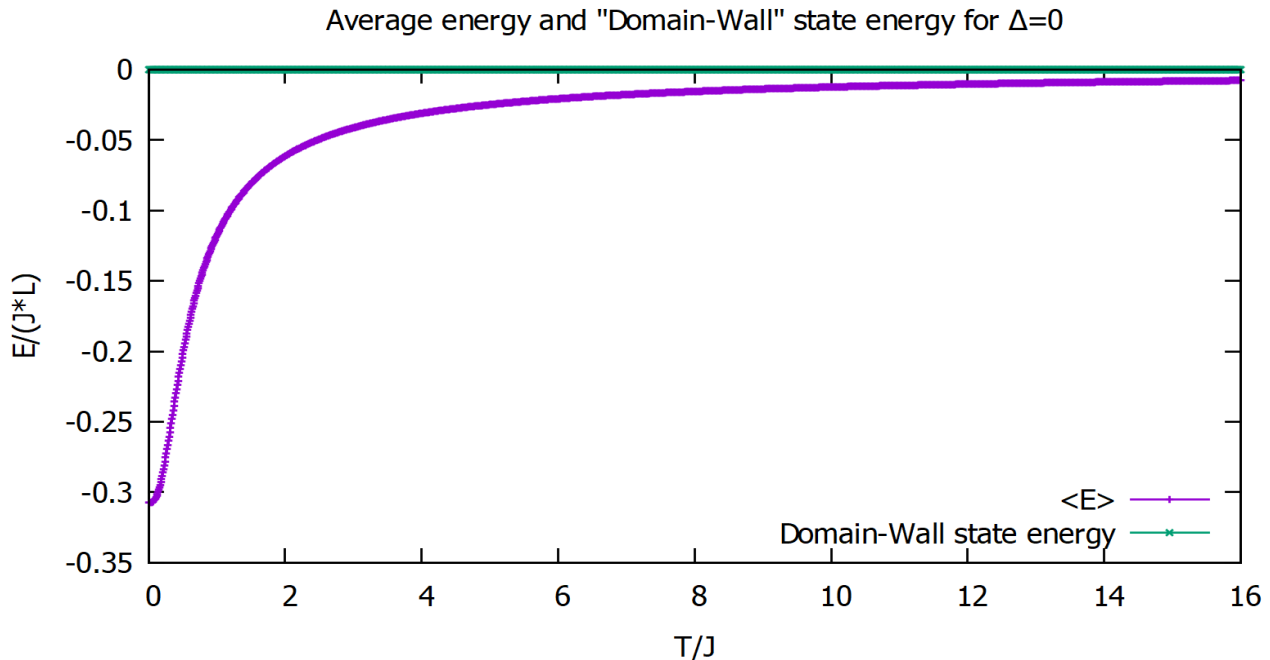
Poniższe wykresy dokonano dla 1D łańcucha z  $L = 16$  atomami i różnymi wartościami parametru asymetrii  $\Delta = 0.0, 2.0, 8.0$  w modelu Heisenberga:

$$H = \frac{J}{2} \sum_{i=1}^{L-1} (S_i^+ S_{i+1}^- + S_i^- S_{i+1}^+) + J\Delta \sum_{i=1}^{L-1} S_i^z S_{i+1}^z$$

Wartość stałej wymiany jest ustalona do  $|J| = 1$ .

### 1. Antiferromagnetic ordering: $J\Delta > 0$

#### a. $\Delta = 0$



Początkowy stan:  $|\psi(0)\rangle = |\uparrow\uparrow \dots \uparrow\downarrow \dots \downarrow\rangle$

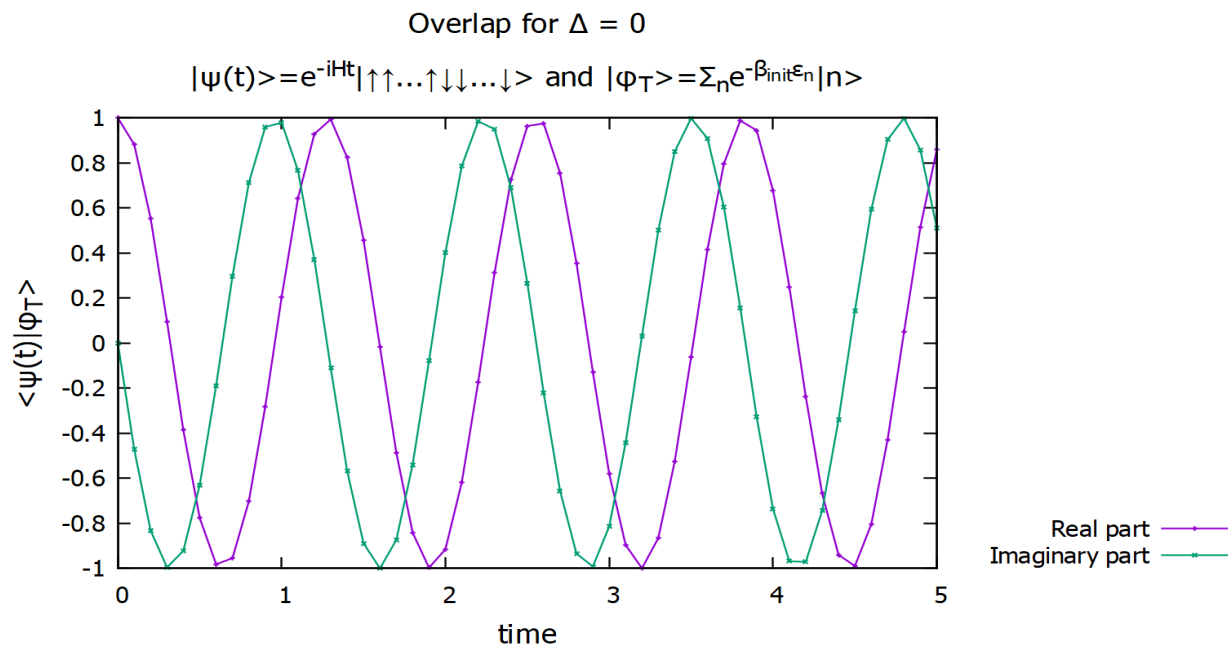
Energia tego stanu nie zmienia się w czasie, bo hamiltonian komutuje z operatorem ewolucji, jeśli hamiltonian będzie zależeć od czasu to sytuacja się zmienia.

$$\langle\psi(t)|H|\psi(t)\rangle = \langle\psi(0)|e^{-iHt}He^{iHt}|\psi(0)\rangle = \langle\psi(0)|He^{-iHt}e^{iHt}|\psi(0)\rangle = \langle\psi(0)|H|\psi(0)\rangle$$

Temperatura, dla której obie krzywe się przecinają to  $T_{init}$ . W przypadku  $\Delta = 0$ , mamy że

$$T_{init} = \infty \rightarrow \beta_{init} = \frac{1}{T_{init}} = 0. \text{ Poniżej przedstawiono przekrycie się funkcji falowych}$$

$$\text{danego stanu początkowego i stanu: } |\varphi_T\rangle = \sum_n e^{-\beta_{init}\epsilon_n} |n\rangle = \sum_n |n\rangle$$

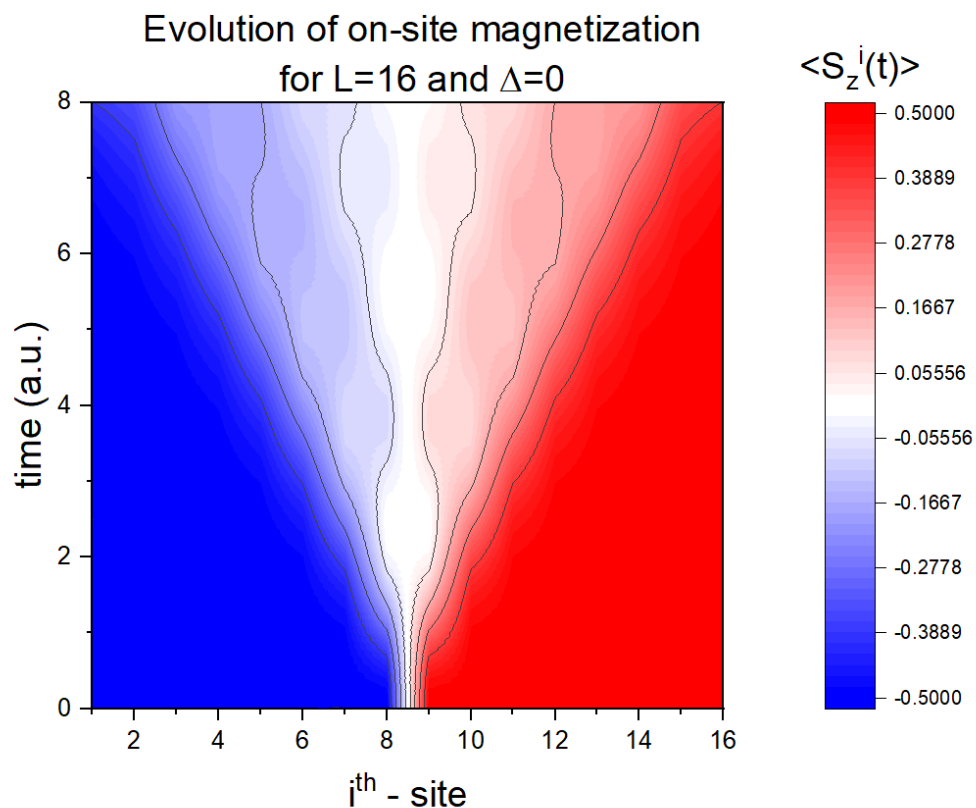


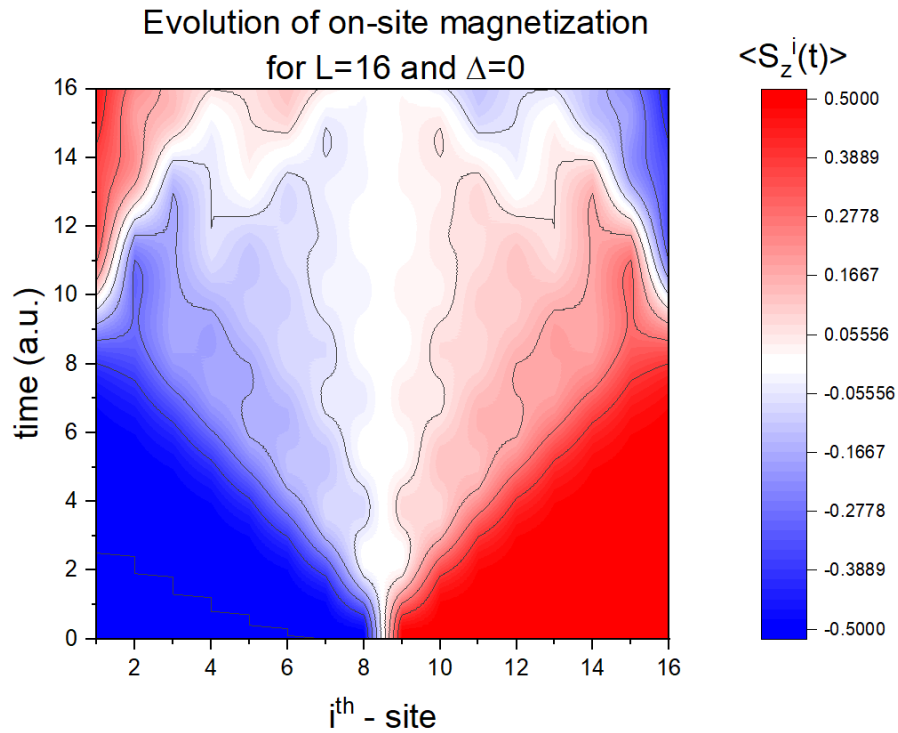
Po dokonaniu fitowania mamy:

$$\text{Re}(\langle\psi(t)|\varphi_T\rangle) \approx \cos(4.919t) \quad \& \quad \text{Im}(\langle\psi(t)|\varphi_T\rangle) \approx -\sin(4.919t)$$

Widzimy, że przekrycie wynosi  $\langle\psi(t)|\varphi_T\rangle = e^{-i\epsilon_0 t}$  dla  $\epsilon_0 \approx 4.919$ , będący energią stanu podstawowego takiego układu. Co oznacza, że stan ze ścianą domenową ewoluuje tak jak stan podstawowy. W granicy  $t \rightarrow \infty$  nic się nie zmienia: stacjonarna ewolucja powoduje nieokreśloność w nieskończoności co do wartości powyższej całki przekrycia.

### ***i. Magnetyzacja na węźle od czasu:***

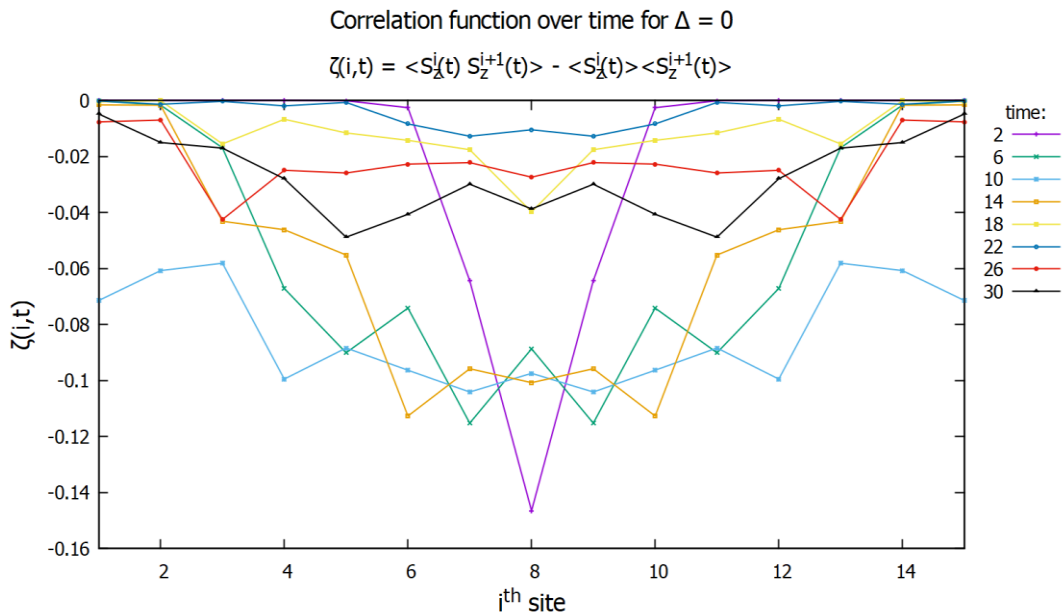




Magnetyzacja ewoluuje zgodnie z propagacją dwóch magnonów z środka łańcucha. Zauważamy ich odbicie od krawędzi przy czym pierwotny spin na krańcach łańcucha zmienia się na przeciwny.

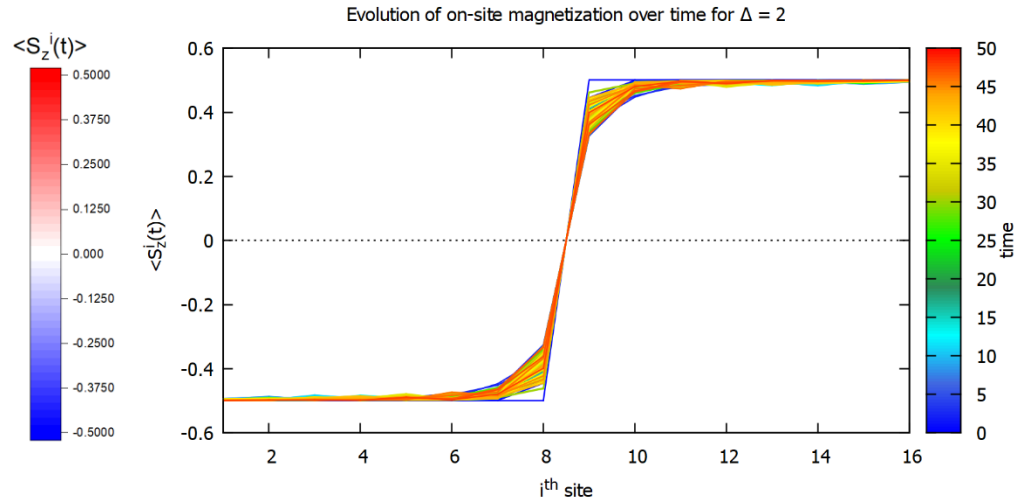
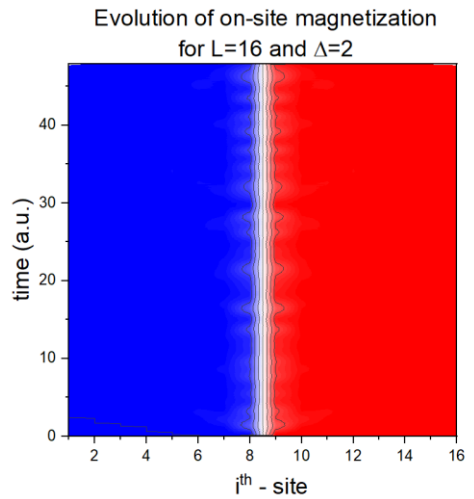
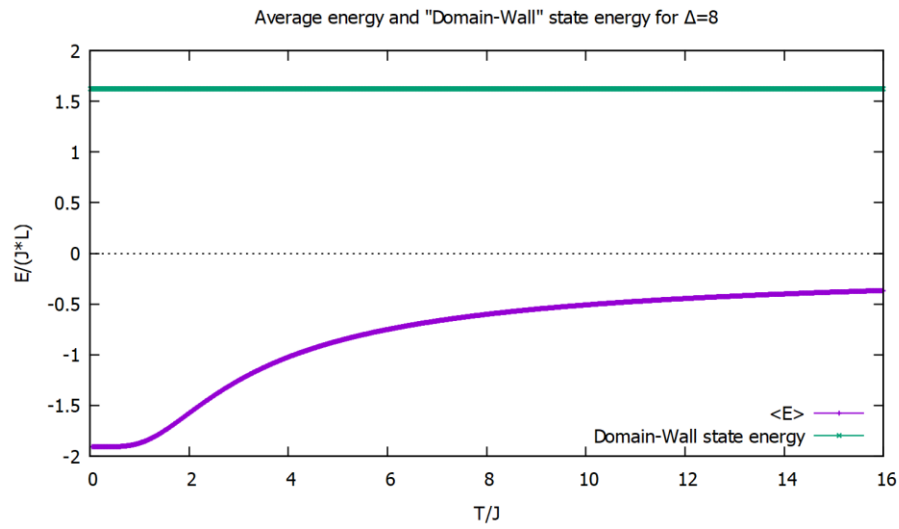
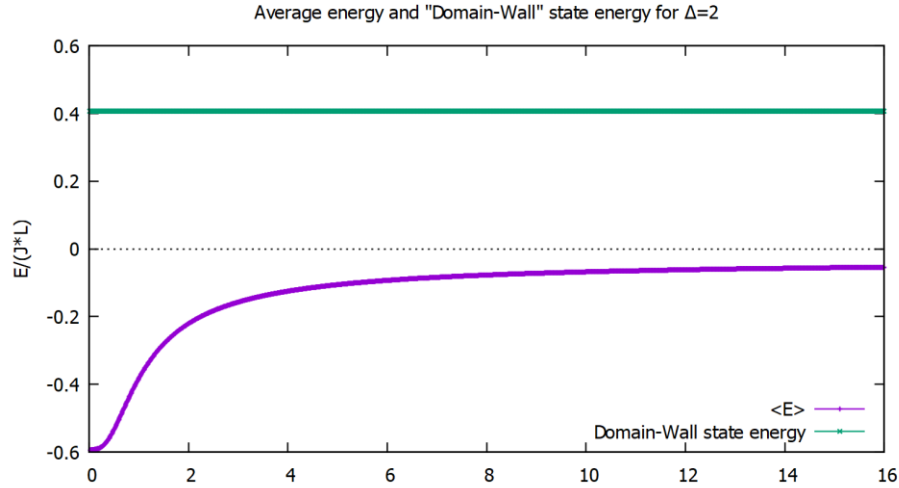
## ii. Funkcja korelacji spinowej

$$\zeta(i, t) = \langle S_i^z S_{i+1}^z \rangle - \langle S_i^z \rangle \langle S_{i+1}^z \rangle$$



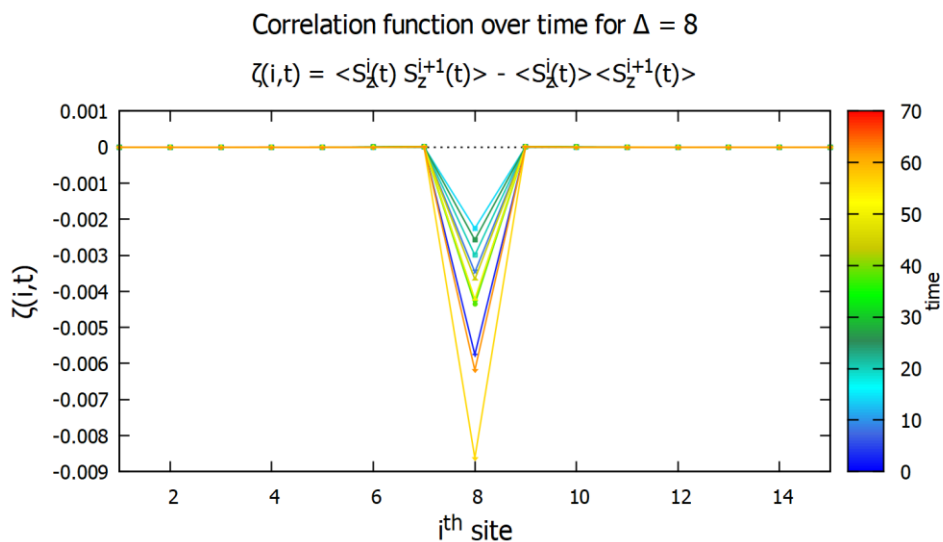
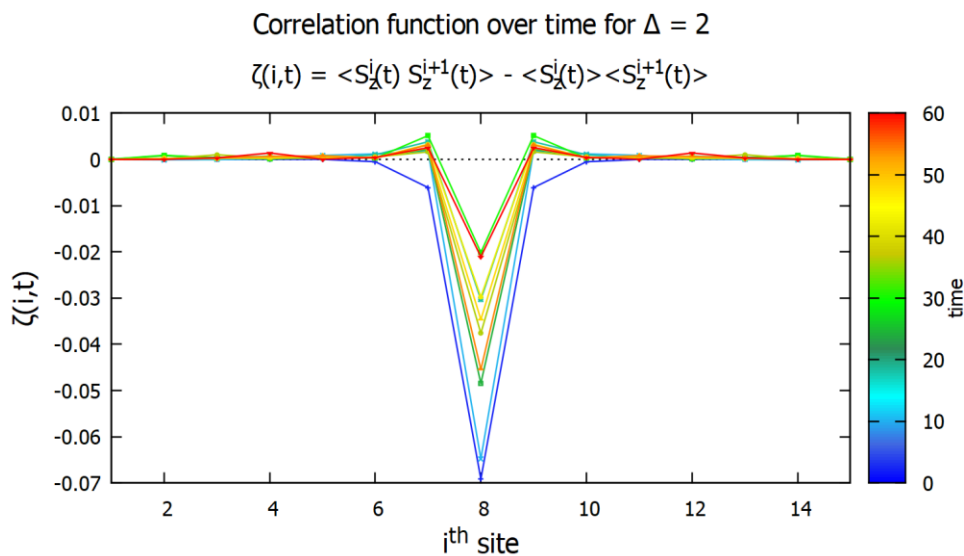
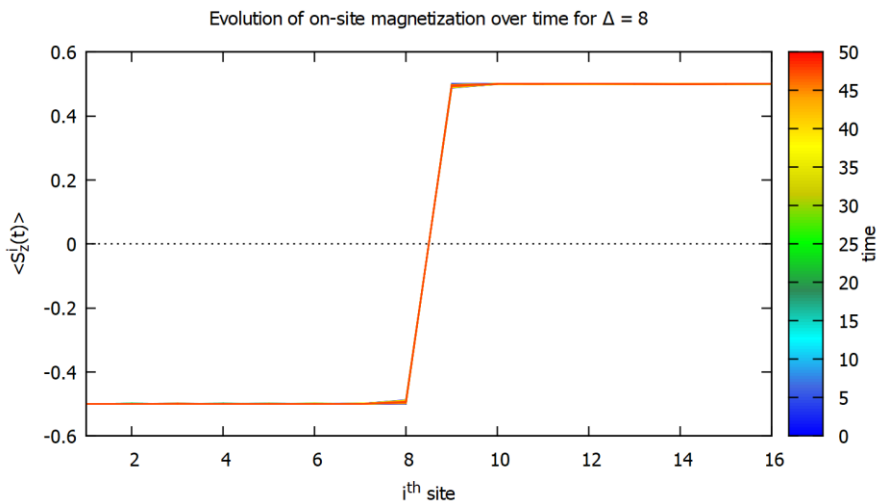
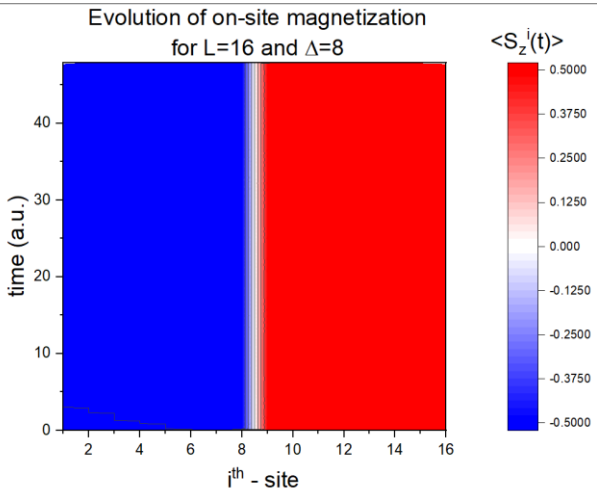
Funkcja korelacji pokazuje propagację magnonu do końców łańcucha oraz najprawdopodobniej ich odbicie od krawędzi, powodując ponowne nasilenie w środku łańcucha.

**b.  $\Delta > 0$  ( $\Delta = 2$  and  $\Delta = 8$ )**



Ze względu na niezerowy parametr asymetrii  $\Delta \neq 0$  układ pozostaje w stanie ze ścianą domenową, ponieważ ta asymetria wymusza na układzie preferowanie z-towej składowej spinu. Jednak dla  $\Delta = 2$  asymetria jest jeszcze słaba i wokół środka łańcucha

wartość spinu lekko fluktuuje co jest spowodowane powstaniem magnonów, które jednak zostają „odbite” od domeny spinowej bądź są wygaszane.



Fluktuacje spinów (czyli powstanie i wygaszanie magnonów) jest lepiej uwidocznione na wykresie korelacji spinowej (zdefiniowana jak poprzednio).

## 2. Ferromagnetic ordering: $J\Delta < 0$